

快报

高能 e^+e^- 湮没中多粒子产生的管状袋模型*

裘忠平 蔡 昂

(华中师范大学, 粒子物理研究所, 武汉)

摘要

本文提出了一种研究高能 e^+e^- 湮没过程中多粒子产生的管状袋模型。利用袋参数 B 确定强子化几率密度与物质化能量的平方成正比, 成功地解释了最新实验数据 (TASSO, HRS) 给出的近似 KNO 标度无关性。

最近, TASSO 实验组^[1]和 HRS 实验组^[2]分别公布了一批 e^+e^- 湮没过程中带电粒子多重数分布的新实验数据。TASSO 的实验在西德 DESY-PETRA 上进行, 质心系总能量分别为 $\sqrt{s} = 14.0, 22.0, 34.8$ 和 43.6 GeV ; HRS 的实验在美国的 SLAC-PEP 上进行, $\sqrt{s} = 29.0 \text{ GeV}$ 。

通过对实验数据的分析, 带电粒子的平均多重数 $\langle n_{ch} \rangle$ 和多重数分布的根方差 $D = (\langle n_{ch}^2 \rangle - \langle n_{ch} \rangle^2)^{1/2}$, 与质心系总能量 \sqrt{s} 的依赖关系可以用下式参数化:

$$\langle n_{ch} \rangle = \alpha s^{1/4}, \quad (1)$$

$$D = \beta s^{1/4}. \quad (2)$$

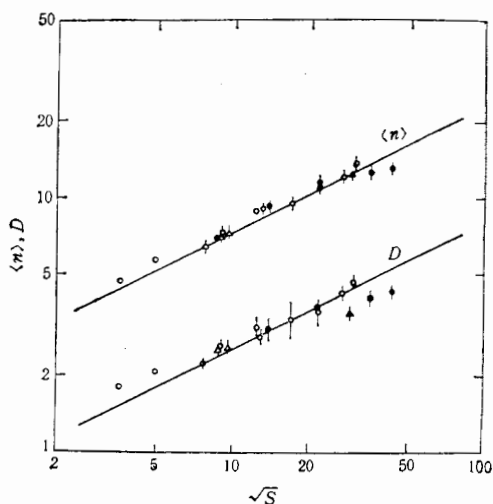


图 1

● TASSO ▲ HRS △ LENA ○ PLUTO

* 国家自然科学基金和华中师范大学科研基金资助的课题。

本文 1987 年 11 月 2 日收到。

式中, 数据拟合给出的参数值分别为 $\alpha = 2.3$, $\beta = 0.8$ (见图 1).

由于此值 $\langle n_{ch} \rangle / D$ 几乎是能量无关的, 新的数据进一步表明分布形状的 KNO^[3] 标度无关性在这个能区内近似成立^[4]. e^+e^- 湮没的基元过程比强子-强子碰撞简单. 因此, 人们期望利用其 KNO 标度性质, 来研究多粒子产生的机制. 虽然目前已有不少的理论模型^[5], 譬如采用中间集团衰变过程、碰撞几何图象、随机断裂机制、量子统计方法等, 导出 Poisson 分布、 Γ 分布或负二项式分布, 并由此来解释实验数据, 但它们通常都存在一个弱点. 这就是对夸克禁闭问题或多或少地有些回避.

量子色动力学 (QCD) 作为描述强相互作用的基本理论, 已经在微扰论范围方面取得了重大成功. 但是, 对于非微扰效应却遇到了方法上的严重困难. 有些非微扰效应是特别重要的, 例如静态性质方面的强子谱, 动力学方面的多强子产生机制. 这些效应都与夸克禁闭现象直接有关. 在本文中, 我们将采用一种描述夸克禁闭的唯象模型, 来讨论 e^+e^- 湮没过程中带电粒子多重数的 KNO 标度性质. 模型的发展和对 e^+e^- 湮没其他方面重要性质的研究, 将在另外的文章中讨论.

根据夸克理论, e^+e^- 湮没产生强子的过程可以分为两步: 第一步, e^+e^- 通过虚光子产生一对能量大小相等、动量方向相反的正、反夸克对. 第二步, 由这一对正、反夸克对构成的体系, 碎裂成末态强子, 并把它们的能量分配给这些强子. 显然, 在第一步中产生的正、反夸克对应该处于禁闭的状态, 因此由它们形成的体系类似于一个拉长的管状袋. 这里我们沿用了描述静态性质较为成功的 MIT 袋模型^[6]. 这个模型中关于真空两种相的假定, 具有深刻的物理含义, 因而被广泛用来研究多夸克体系、胶子球和夸克-胶子等离子体. 模型用来唯象地描写夸克禁闭效应的是袋参数 B , 即袋内外不同真空态的单位体积的能量差. 对于静态的强子袋, B 被认为是一个常数. 现在, 我们研究的对象是 e^+e^- 湮没这样的反应过程中, 所产生的夸克、反夸克对构成的体系. 这个体系是不稳定的, 很快就会物质化, 碎裂为末态强子. 我们仍然用袋参数 B 来描述尚未物质化的夸克、反夸克对体系的禁闭效应. 只是 B 应不同于静止强子, 而可能与碰撞体系的质心系能量 \sqrt{s} 有关. 由于 B 的作用是唯象描述禁闭, 它显然要决定夸克、反夸克对体系的强子化. 这就是说, 物化能量为 E_M 的体系, 其强子化几率 $G(E_M)$, 不仅与管状袋的长度 L 有关, 而且也与袋参数 B 有关. 由于 LB 的量纲为能量的三次方, 在本文中我们取

$$G(E_M) \propto E_M^3 \quad (3)$$

由此得到单位物化能量的强子化几率密度

$$g(E_M) \propto E_M^2. \quad (4)$$

现在, 考虑 $N = \sum N_{E_M}$ 个事例, 其中 N_{E_M} 是物化能量为 E_M 的管状袋尚未碎裂的事例数. 在 $E_M - E_M + dE_M$ 范围内, 管状袋破碎的事例数为

$$dN_{E_M} = -g(E_M)N_{E_M}dE_M. \quad (5)$$

由它计算出物化能量 E_M 的分布

$$P(E_M) = \frac{N_{E_M}}{N} = C_1 E_M^2 \exp(-C_2 E_M^3), \quad (6)$$

其中, 常数 C_1 和 C_2 由归一化条件和平均值确定.

考虑到 e^+e^- 湮没产生的末态强子主要是 π 介子, 我们假设管状袋的物化能量 E_M 与

末态强子的数目 n 成正比, 即

$$n \propto E_{M*} \quad (7)$$

若选用 $z = n_{ch}/\langle n_{ch} \rangle$, $\psi(z) = \langle n_{ch} \rangle P(n_{ch})$ 的 KNO 形式 (这里 n_{ch} 为带电粒子多重数, $n_{ch} = (2/3)n$), 我们便得到 e^+e^- 湮没中产生的带电粒子多重数分布

$$\psi(z) = 6\Gamma^3(4/3)z^2 \exp[-\Gamma^3(4/3)z^3]. \quad (8)$$

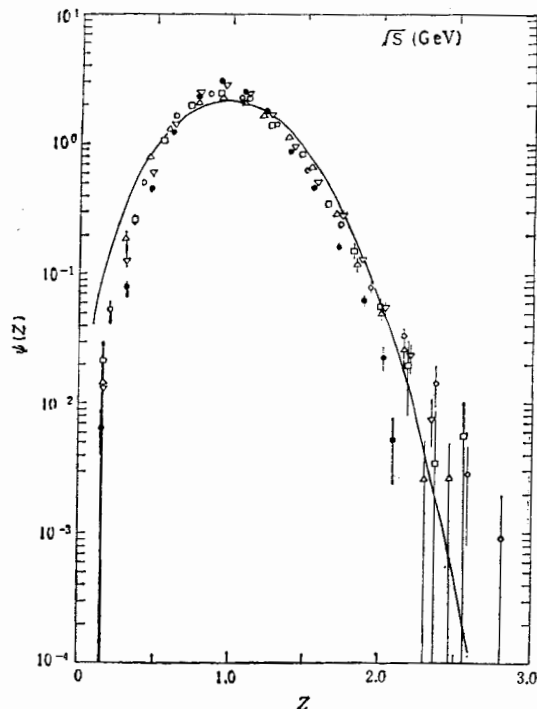


图 2

○ 14.0 inclusive △ 43.6 two-jet □ 22.0 two-jet
 ● 29.0 two-jet ▽ 34.8 two-jet

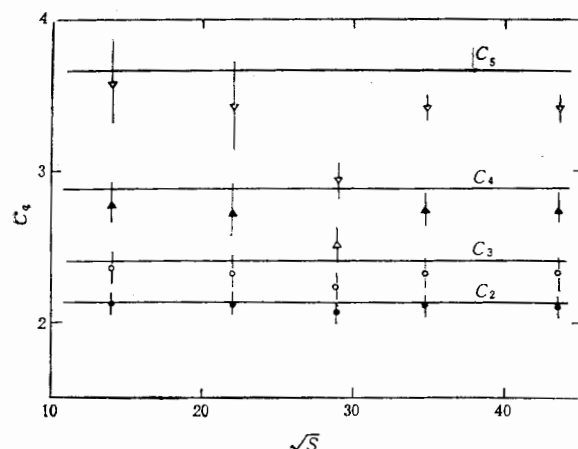


图 3

在图 2 中, 我们绘出了本模型计算的曲线, 它与实验数据符合得不错.

多重数分布的矩 $C_q = \langle n_{ch}^q \rangle / \langle n_{ch} \rangle^q$, 由(8)式可以计算得到

$$C_q = \Gamma(1 + q/3) / \Gamma^q(1 + 1/3). \quad (9)$$

计算结果与实验数据的比较, 见图 3.

参 考 文 献

- [1] W. Braunschweig et al., (The TASSO Collaboration), in Proceedings of the 1987 International Symposium on Lepton and Photon Interactions at High Energies, (to be published).
- [2] M. Derrick et al., (The HRS Collaboration), *Phys. Rev.*, **D34**(1986), 3304.
- [3] Z. Koba, M. B. Nielsen and P. Olesen, *Nucl. Phys.*, **B40**(1972), 317.
- [4] B. Felst, in Proceedings of the 1981 International Symposium on Lepton and Photon Interactions at High Energies, Bonn, edited by W. Pfeil, University of Bonn, Bonn. M. Althoff et al., *Z. Phys.*, **C22**(1984), 307.
- [5] A. Capella and J. Tran Tranh Van., *Z. Phys.*, **C18**(1983), 85. Chou Kuang-chao, Liu Lian-sou and Meng Ta-chung, *Phys. Rev.*, **D28**(1983), 1080.
P. Carruthers and C. C. Shih, *Phys. Lett.*, **137B**(1984), 425.
A. Giovannini and L. Van Hove, CERN TH-4230/85, (1985).
T. T. Chou, C. N. Yang and E. Yen, *Phys. Rev. Lett.*, **54**(1985), 510.
S. Barshay and L. Urban, *Phys. Lett.*, **150B**(1985), 387.
A. Bialas and F. Hajot, *Phys. Rec.*, **D33**(1986), 39.
- [6] A. Chodos et al., *Phys. Rev.*, **D9**(1974), 347; **D10**(1974), 2599.
T. DeGrand et al., *Phys. Rev.*, **D12**(1975), 2060.

CYLINDRICAL BAG MODEL OF PARTICLE PRODUCTION IN HIGH ENERGY e^+e^- ANNIHILATION

QIU ZHONGPIN CAI XU

(Institute of Particle Physics, Hua-Zhong Normal University, Wuhan)

ABSTRACT

The recent experimental data from TASSO and HRS collaborations for multiparticle production in high energy e^+e^- annihilation is analysed in a cylindrical bag model. It is shown that the observed approximate KNO scaling can be explained in terms of bag parameter B , which determines the hadronization probability densities proportional to the square of the materialization energy.